

А. В. Задорожний, В. А. Ковтуненко*, А. В. Туров

КОНДЕНСИРОВАННЫЕ ИЗОХИНОЛИНЫ
35*. СИНТЕЗ И ПРЕВРАЩЕНИЯ 4Н-ТИЕНО[3',4':5,6]ПИРИМИДО[1,2-*b*]-
ИЗОХИНОЛИН-4,11(5Н)-ДИОНА

Синтезированы производные неизвестной ранее тетрациклической системы 4Н-тиено[3',4':5,6]пириимио[1,2-*b*]изохинолин-4,11(5Н)-диона. Проведено сравнение спектральных характеристик и биологической активности этих соединений, а также их позиционных изомеров и бензольных изостеров. Различия, связанные с положением атома серы, наиболее определенно отражают электронные спектры.

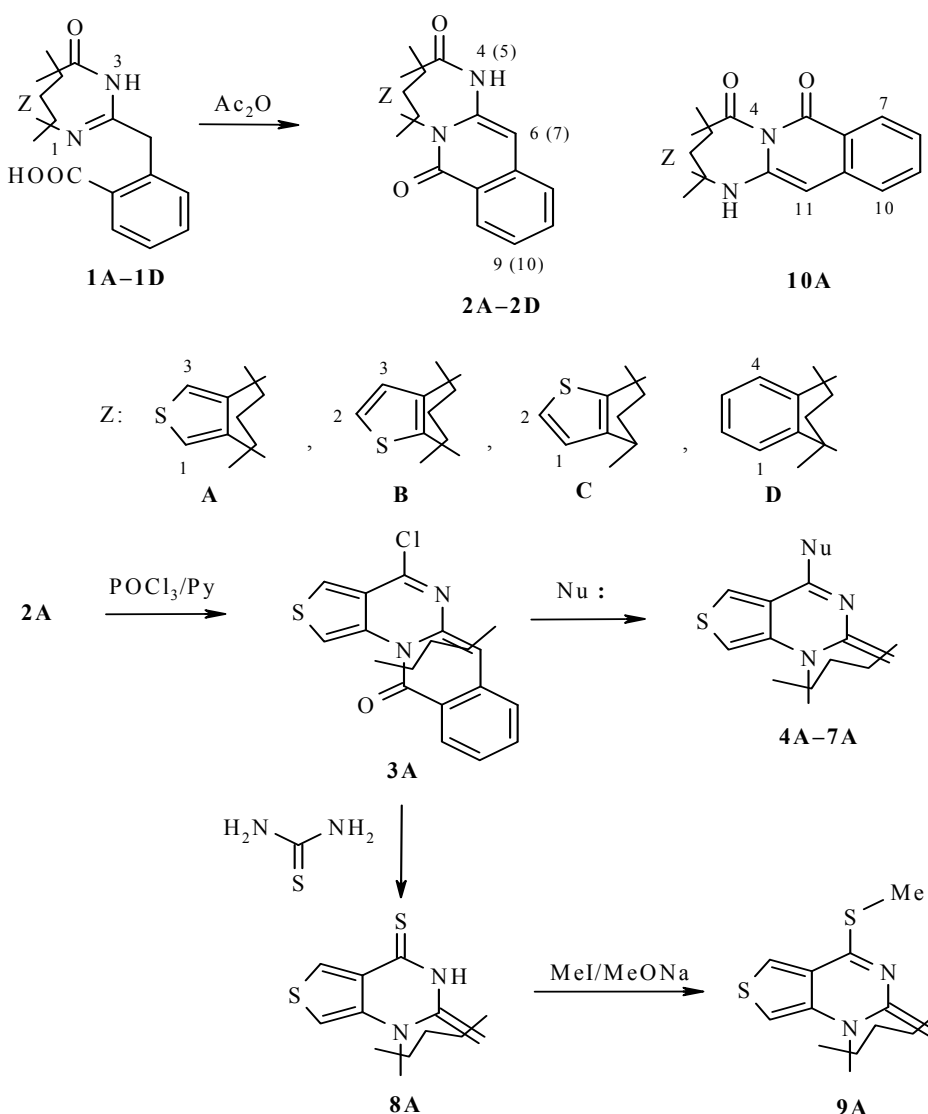
Ключевые слова: позиционные изомеры, производные 4Н-тиено[3',4':5,6]-пириимио[1,2-*b*]изохинолин-4,11(5Н)-диона, нуклеофильное замещение, расчёт биологической активности, УФ спектры, циклизация.

Настоящая работа является продолжением наших исследований в области производных тиено[3,4-*d*]-, тиено[2,3-*d*]-, тиено[3,2-*d*]пириимидин-4-онов и хиназолин-4-онов, относящихся к сериям **A**, **B**, **C**, **D** соответственно. Ранее нами были описаны *ортого*-(4-оксо-3,4-дигидротиенопириимидин-2-илметил)бензойные кислоты **1A** [2], **1B**, **1C** [3], а также *ортого*-(4-оксо-3,4-дигидрохиназолин-2-илметил)бензойная кислота **1D** [4].

Из кислот **1B–1D** кипячением в уксусном ангидриде были получены продукты их внутримолекулярной циклизации по атому N(1) – **2B–2D** [5]. В данной работе циклизацией в аналогичных условиях кислоты **1A** был синтезирован тиенопириимиоизохинолиндион **2A**. Последний обработкой POCl₃ в присутствии каталитических количеств пиридина был превращён в 4-хлорзамещённый продукт **3A**, из которого действием циклических аминов (пирролидина, пиперидина, морфолина) и метилата натрия были получены соответствующие производные по положению 4: **4A–7A**, а действием тиомочевины – 4-тиоксо-4,5-дигидротиенопириимиоизохинолин-11-он **8A**. Алкилирование соединения **8A** (MeI/MeONa) привело к 4-метилтиотиенопириимиоизохинолин-11-ону **9A**.

Строение соединения **2A** – исходного для получения производных **3A–9A**, было доказано разными методами. Так, квантово-химические расчёты энергий изомерных систем **2A** и **10A**, выполненные с помощью компьютерной программы HyperChem Professional 5.1 [6] в рамках метода *ab initio*, в базисе 3-21G** (с учётом *d*-орбиталей) и с полной оптимизацией геометрии, для молекулы **2A** дают значение 743238.8, а для **10A** –

* Сообщение 34 см. [1].



4a NuH = пирролидин, **5A** NuH = пиперидин, **6A** NuH = морфолин,
7A Nu: = метилат-анион

Приведённая на схеме нумерация атомов, не всегда согласующаяся с правилами ИЮПАК, использована далее для отнесения сигналов протонов в спектрах ЯМР ^1H (см. табл. 2).

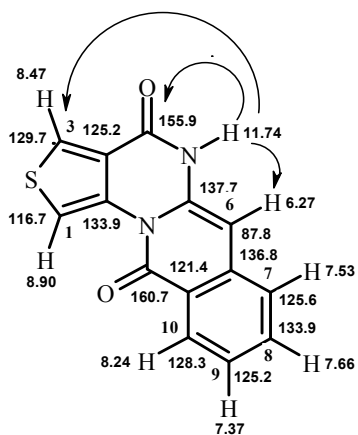
743227.6 ккал·моль $^{-1}$. Таким образом, внутримолекулярная циклизация по атому N(1) кислоты **1A** – термодинамически выгодный процесс.

Аналогичные выводы о циклизации по атому N(1) кислоты **1A** следуют из анализа данных двумерных спектров гомоядерной (COSY, NOESY) и гетероядерной ^1H – ^{13}C корреляции через одну связь (HMQC) и через 2–3 связи (HMBC) соединения **2A** (табл. 1).

Рассмотрение формул изомеров **2A** и **10A** показывает, что в случае линейного изомера **10A** следует ожидать пространственной близости

протона фрагмента NH с двумя ароматическими протонами H-1 и H-11, а в 1186

случае ангуллярного изомера **2A** – только с одним ($\text{H}-6$). В NOESY спектре имеется только кросс-пик между сигналом протона фрагмента NH и сигналом при 6.27 м. д. Другие кросс-пики для указанного фрагмента не обнаружены, что свидетельствует в пользу соединения **2A**. Дальнейшее подтверждение структуры **2A** следует из данных по гетероядерной корреляции, представленных в табл. 1 и на рисунке. Отнесения химических сдвигов атомов углерода, связанных с атомами водорода, сделаны на основании корреляций HMQC, а отнесение четвертичных атомов углерода – на основании имеющихся корреляций HMBC. Наиболее важным, с точки зрения установления структуры, является отсутствие корреляции между сигналом протона фрагмента NH и сигналом атома ^{13}C с химическим сдвигом 116.7 м. д., отвечающим атому $^{13}\text{C}(1)$ тиофенового цикла. В альтернативной линейной структуре **10A** данная корреляция должна была бы быть достаточно интенсивной.



Т а б л и ц а 1

Результаты экспериментов по гомоядерной (спектр NOESY) и гетероядерной корреляции (HMBC и HMQC) для соединения **2A**

Положение атома (см. рис.)	Спектр ЯМР ^1H , δ , м. д.	HMQC	HMBC	NOESY
1	8.90	116.7	129.7, 125.2	–
3	8.47	129.7	155.9 (c), 133.9, 125.2, 116.7	–
5	11.74	–	155.9, 137.7, 129.7 (c), 125.2, 87.9	6.27
6	6.27	87.8	137.7, 133.9, 128.3 (c), 125.6, 121.4	7.53, 11.74
7	7.53	125.6	136.8 (c), 125.2, 121.4, 87.9	6.27, 7.66
8	7.66	133.9	136.8, 128.3	7.37, 7.53
9	7.37	125.2	133.9 (c), 125.6, 121.4	7.66, 8.24
10	8.24	128.3	160.7, 136.8, 133.9	7.37

Таблица 2

Спектры ЯМР ^1H синтезированных веществ (ДМСО- d_6), δ , м.д. (J , Гц)

Шифр соединения	H-1 (1H)	H-2/2-CH ₃	H-3/3-CH ₃	H-(4)*/4-R	H-5(6), 1H, _c	H-6(7), 1H, _c	H-7(8)	H-8(9)	H-9(10), 1H	H-10(11), 1H
1	2	3	4	5	6	7	8	9	10	11
2A	8.40 (Δ , $^4J = 3.5$)	—	8.90 (^1H , Δ , $^4J = 3.5$)	—	11.39	6.31	7.52 (^1H , Δ , $^3J = 8.0$)	7.66 (^1H , τ , $^3J = 8.0$)	7.37 (τ , $^3J = 8.0$)	8.28 (Δ , $^3J = 8.5$)
2B	—	2.41 (3H, c)	2.36 (3H, c)	—	11.71	6.30	7.50 (^1H , Δ , $^3J = 8.0$)	7.62 (^1H , τ , $^3J = 7.6$)	7.32 (τ , $^3J = 7.6$)	8.22 (Δ , $^3J = 8.4$)
2C	8.68 (Δ , $^3J = 5.2$)	8.17 (^1H , Δ , $^3J = 5.2$)	—	—	12.03	6.27	7.47 (^1H , Δ , $^3J = 7.6$)	7.65 (^1H , τ , $^3J = 8.0$)	7.33 (τ , $^3J = 8.0$)	8.21 (Δ , $^3J = 8.0$)
2D	9.24 (Δ , $^3J = 7.2$)	7.74 (^1H , τ , $^3J = 6.8$)	7.48 (2H, m)	8.10 (^1H , Δ , $^3J = 6.0$)	11.87	6.20	7.48 (2H, m)	7.63 (^1H , τ , $^3J = 5.6$)	7.32 (τ , $^3J = 5.6$)	8.19 (Δ , $^3J = 6.4$)
3A	8.92 (Δ , $^4J = 3.0$)	—	8.34 (^1H , Δ , $^4J = 3.0$)	—	—	7.06	7.81 (2H, m)	—	7.62 (τ , $^3J = 6.5$)	8.42 (Δ , $^3J = 8.0$)
3B	—	2.41 (3H, c)	2.37 (3H, c)	—	—	7.13	7.80 (^1H , Δ , $^3J = 7.0$)	7.87 (^1H , τ , $^3J = 7.5$)	7.59 (τ , $^3J = 7.0$)	8.37 (Δ , $^3J = 7.0$)
3C	8.83 (m)	8.23 (1H, m)	—	—	—	7.07	7.81 (2H, m)	—	7.57 (m)	8.38 (Δ , $^3J = 7.5$)

4A	9.09 (c)	—	8.38 (1H, c)	3.88 (4H, m, NCH ₂); 2.00 (4H, m, NCH ₂ CH ₂)	—	6.40 (1H, d, ³ J = 6.5)	7.50 (1H, d, ³ J = 6.5)	7.57 (r, ³ J = 7.0)	7.26 (r, ³ J = 7.0)
4B	—	2.37 (3H, c)	2.34 (3H, c)	3.63 (4H, m, NCH ₂); 1.84 (4H, m, NCH ₂ CH ₂)	—	6.64 (4H, m, NCH ₂); 3.85 (4H, m, NCH ₂ CH ₂)	7.62 (2H, m)	7.29 (M)	8.21 (d, ³ J = 8.5)
4C	9.00 (d, ³ J = 6.0)	8.18 (1H, d, ³ J = 5.5)	—	3.64 (4H, m, NCH ₂); 2.00 (4H, m, NCH ₂ CH ₂)	—	6.49 (4H, m, NCH ₂); 3.78 (4H, m, NCH ₂ CH ₂)	7.54 (1H, d, ³ J = 7.5)	7.59 (r, ³ J = 7.5)	7.24 (r, ³ J = 7.5)
5A	9.00 (d, ⁴ J = 3.0)	—	8.31 (1H, d, ⁴ J = 2.5)	3.78 (4H, m, NCH ₂); 1.69 (6H, m, NCH ₂ (CH ₂) ₃)	—	6.55 (4H, m, NCH ₂ CH ₂); 3.32 (4H, m, NCH ₂); 1.68 (4H, m, NCH ₂ CH ₂); 1.62 (2H, m, NCH ₂ CH ₂ CH ₂)	7.62 (2H, m)	7.34 (r, ³ J = 7.5)	8.26 (d, ³ J = 8.5)
5B	—	2.38 (3H, c)	2.37 (3H, c)	3.89 (4H, m, NCH ₂); 1.67 (6H, m, NCH ₂ (CH ₂) ₃)	—	6.79 (4H, m, NCH ₂ CH ₂); 1.68 (2H, m, NCH ₂ CH ₂ CH ₂)	7.69 (2H, m)	7.38 (r, ³ J = 7.5)	8.26 (d, ³ J = 8.0)
5C	8.90 (d, ³ J = 5.5)	8.14 (1H, d, ³ J = 5.5)	—	3.89 (4H, m, NCH ₂); 1.67 (6H, m, NCH ₂ (CH ₂) ₃)	—	6.56 (4H, m, NCH ₂ CH ₂); 1.67 (6H, m, NCH ₂ (CH ₂) ₃)	7.61 (2H, m)	7.29 (r, ³ J = 7.5)	8.25 (d, ³ J = 8.0)

Окончание таблицы 2

	1	2	3	4	5	6	7	8	9	10	11
6A	9.02 ($\pi, {}^4J = 3.0$)	—	8.42 (${}^1H, \Delta, {}^4J = 3.5$)	3.78 (8H, M, N(CH ₂) ₂ O(CH ₂) ₂)	—	6.60	7.64 (2H, M)	7.37 ($\tau, {}^3J = 7.5$)	8.28 ($\pi, {}^3J = 8.0$)		
6B	—	2.36 (6H, c)	—	3.77 (4H, M, NCH ₂ CH ₂ O); 3.34 (4H, M, NCH ₂ CH ₂ O); 3.90 (4H, M, NCH ₂ CH ₂ O); 3.78 (4H, M, NCH ₂ CH ₂ O)	—	6.82	7.70 (2H, M)	7.40 ($\tau, {}^3J = 8.0$)	8.26 ($\pi, {}^3J = 8.5$)		
6C	8.92 ($\pi, {}^3J = 6.0$)	8.14 (${}^1H, \Delta, {}^3J = 5.5$)	—	—	—	6.58	7.59 (1H, $\pi, {}^3J = 7.5$)	7.63 ($\tau, {}^3J = 7.0$)	7.31 ($\tau, {}^3J = 7.5$)		
7A	8.88 (c)	—	8.25 (${}^1H, c$)	4.05 (3H, c, OCH ₃)	—	6.77	7.71 (2H, M)	7.47 ($\pi, {}^3J = 8.0$)	8.32 ($\pi, {}^3J = 8.0$)		
7B	—	2.32 (3H, c)	2.29 (3H, c)	4.02 (3H, c, OCH ₃)	—	6.82	7.72 (2H, M)	7.44 (M)	8.27 ($\pi, {}^3J = 8.0$)		
7C	8.80 (M)	8.11 (1H, M)	—	4.07 (3H, c, OCH ₃)	—	6.77	7.68 (2H, M)	7.43 (M)	8.32 ($\pi, {}^3J = 6.0$)		
8A	8.92 ($\pi, {}^4J = 3.5$)	—	8.57 (${}^1H, \Delta, {}^4J = 3.5$)	—	13.30	6.60	7.62 (1H, $\pi, {}^3J = 8.5$)	7.71 (1H, $\tau, {}^3J = 7.5$)	7.45 ($\tau, {}^3J = 7.5$)	8.28 ($\pi, {}^3J = 8.0$)	

8B	—	2.58 (3H, c)	2.33 (3H, c)	—	13.15	6.60	7.63 (1H, Δ , $^3J = 8.0$)	7.71 (1H, τ , $^3J = 8.0$)	7.41 (τ , $^3J = 7.5$)	8.21 (π , $^3J = 7.5$)
8C	8.71 (π , $^3J = 6.0$)	8.20 (1H, Δ , $^3J = 5.5$)	—	—	13.46	6.57	7.61 (1H, Δ , $^3J = 7.5$)	7.70 (1H, τ , $^3J = 7.5$)	7.41 (τ , $^3J = 8.0$)	8.25 (π , $^3J = 8.0$)
9A	8.95 (c)	—	8.26 (1H, c)	2.69 (3H, c, SCH ₃)	—	6.98	—	7.79 (2H, M)	7.55 (τ , $^3J = 7.0$)	8.38 (π , $^3J = 8.5$)
9B	—	2.33 (3H, c)	2.24 (3H, c)	2.53 (3H, c, SCH ₃)	—	6.87	—	7.72 (2H, M)	7.44 (τ , $^3J = 7.5$)	8.24 (π , $^3J = 8.0$)
9C	8.87 (π , $^3J = 5.0$)	8.15 (1H, Δ , $^3J = 5.0$)	—	2.71 (3H, c, SCH ₃)	—	7.05	—	7.79 (2H, M)	7.51 (τ , $^3J = 7.0$)	8.36 (π , $^3J = 8.5$)

* Здесь и далее по горизонтали в скобках указано положение протона в соединении 2D.

Найденные корреляции позволили произвести надежное отнесение остальных сигналов и сделать выбор в пользу ангулярной структуры **2A**.

Для синтезированного соединения **2A** и полученных ранее [5] его позиционных изомеров **2B**, **2C** и изостера **2D** представлялось интересным рассмотреть, как изменение положения атома серы и замена тиофенового цикла на бензольный влияют на их физико-химические характеристики.

Сопоставление ИК спектров соединений **2A–2D** свидетельствует о том, что указанные трансформации структуры не влияют на поглощение карбонильной группы, которое наблюдается при $1664\text{--}1674\text{ cm}^{-1}$.

Анализ спектров ЯМР ^1H (табл. 2) позволяет отметить некоторое влияние изменения структуры на химический сдвиг протона фрагмента NH: он находится в наиболее слабом поле (12.03) в случае изомера **2C** и в наиболее сильном (11.39 м. д.) – в случае изомера **2A**. Химические сдвиги аналогичного протона изостеров **2B** и **2C** различаются мало (11.71 и 11.87 м. д. соответственно).

Электронные спектры соединений **2A–2D** свидетельствуют об интенсивном поглощении в длинноволновой УФ и видимой области 300–420 нм. Их отличительной чертой являются заметные батохромные сдвиги длинноволновых максимумов поглощения соединений **2A**, **2B** (28 и 56 нм соответственно) и небольшой сдвиг в случае изостера **2C** (12 нм) относительно аналогичного максимума соединения **2D** (табл. 3).

Анализ влияния заместителя в положении 4 на физико-химические характеристики синтезированных соединений **3**, **4**, **7**, **9** серии А (данные спектров ЯМР ^1H и ИК спектров) показывает, что оно подобно описанному нами в [1] для их аналогов серий **B** и **C**. Однако сравнение электронных спектров соединений **3**, **4**, **7**, **9** серий **A**, **B**, **C** выявляет определенное различие между ними. Так, замена заместителя OMe в соединении **7A** на хлор, группы SMe и пирролидино вызывает почти одинаковый батохромный сдвиг полосы поглощения ($\Delta\lambda \approx 30$ нм). В случае производных

Таблица 3
УФ спектры соединений **2–4**, **7** и **9**

Соединение	λ_{\max} , нм ($\lg \varepsilon$)*
2A	333 (3.94), 374 (3.83), 389 (3.66)
2B	303 (4.56), 376 (3.80), 396 (3.83), 417 (3.71)
2C	310 (4.01), 336 (3.87), 353 (3.86), 373 (3.80)
2D	294 (4.28), 361 (3.84)
3A	381 (3.96), 399 (4.01), 422 (4.04), 447 (3.80)
4A	312 (4.29), 397 (4.23), 422 (4.24), 445 (4.09)
7A	348 (4.05), 363 (4.16), 380 (4.20), 400 (4.20), 421 (3.95)
9A	381 (4.28), 403 (4.40), 425 (4.38), 450 (4.09)
9B	309 (4.83), 327 (4.44), 404 (4.38), 438 (3.99), 465 (3.58)
9C	324 (4.28), 380 (4.43), 398 (4.43), 432 (4.17), 459 (4.08), 485 (3.78)

* Для соединений **2B–D** приведены данные [7], для соединений **9B,C** – [1].

серий **B** и **C** влияние разных заместителей на указанный сдвиг различно [1]. Для соединений **3**, **4**, **7**, **9** серии **B** оно возрастает в ряду OMe < N(CH₂)₄ < SMe < Cl, а для их аналогов серии **C** – в ряду OMe < N(CH₂)₄ < Cl < SMe. Таким образом, изменение положения атома серы в тиофеновом цикле и замена последнего на бензольный существенно меняют электронную структуру рассмотренных производных. Данные электронных спектров 4-SMe-замещённых **9A**, **9B** и **9C** (позиционных изомеров) подтверждают сделанный ранее вывод: относительно полосы поглощения соединения **9A** полосы поглощения соединений **9B** и **9C** сдвинуты на 15 и 35 нм соответственно.

С целью выяснения биологического потенциала соединений **2–9** серии **A** с помощью программы PASS (Prediction of Activity Spectra for Substances) [8–10] была произведена оценка спектра их биологической активности. Результаты оценки спектра вероятного вида биологической активности синтезированных веществ: **2A**, **4A–9A** – агонист допаминовых D₄-рецепторов, $p_a = 0.853\text{--}0.892$; **3A** – стимулятор серотониновых рецепторов, $p_a = 0.858$, агонист допаминовых D₄-рецепторов, $p_a = 0.878$.

В основу выборки активных соединений положена многоуровневая оценка ближайшего окружения атомов и сравнение рассчитанных 2D дескрипторов с набором таковых, отвечающих либо высокой активности, либо её отсутствию. Конечный результат представляется программой как вероятность проявления соединением активности (p_a) и неактивности (p_i) в долях единицы. Для каждого соединения был рассчитан спектр более чем 3000 типов активностей. Вещества **2A–9A** имеют $p_a > 0.8$ и $p_i < 0.2$.

Для всех соединений **2–9** серии **A** предполагается высокий уровень активности относительно допаминовых рецепторов типа D₄, по отношению к которым они выступают как агонисты [11].

ЭКСПЕРИМЕНТАЛЬНАЯ ЧАСТЬ

ИК спектры зарегистрированы на приборе Perkin–Elmer Spectrum BX (использовалась приставка НПВО фирмы Pike), УФ спектры 5·10^{–5} М растворов в ДМФА – на спектрофотометре UV-vis Spectrometer Lambda 20 Perkin–Elmer. Спектры ЯМР ¹H получены на приборе Bruker Avance DRX 500 (500 МГц) в DMSO-d₆, внутренний стандарт TMS. Индивидуальность полученных соединений подтверждена с помощью хромато-масс-спектрометра Agilent 1100 Series, с селективным детектором Agilent LC/MSD SL, образец вводился в матрице трифтруксусной кислоты, ионизация ЭУ. Температуры плавления измерены в пирексовых капиллярах в приборе Тиле и подвергались коррекции.

4Н-Тиено[3',4':5,6]пиримидо[1,2-*b*]изохинолин-4,11(5Н)-дион (2A) получают по методике [4] из кислоты **1A** и уксусного ангидрида. Т. пл. 300–302 °C (ДМФА). Выход 90%. ИК спектр, ν, см^{–1}: 1664 (C=O), 1623 (C=C), 1565, 1510, 1365, 1151, 812 (C=C–H), 776, 749, 691. Масс-спектр, *m/z*: 269 [M⁺+1]. Найдено, %: C 62.66; H 3.05; N 10.46; S 11.98. C₁₄H₈N₂O₂S. Вычислено, %: C 62.68; H 3.01; N 10.44; S 11.95.

4-Хлоро-11Н-тиено[3',4':5,6]пиримидо[1,2-*b*]изохинолин-11-он (3A) получают по методике [7] из соединения **2A** и хлороксида фосфора. Т. пл. 230–232 °C (ДМФА). Выход 95%. ИК спектр, ν, см^{–1}: 1661 (C=O), 1578 (C=N), 1548, 1479, 1297, 1232, 1077, 923, 799, 751 (C–Cl). Масс-спектр, *m/z*: 287 [M⁺+1]. Найдено, %: C 58.68; H 2.48; Cl 12.31; N 9.79; S 11.23. C₁₄H₇ClN₂OS. Вычислено, %: C 58.64;

Н 2.46; Cl 12.36; N 9.77; S 11.18.

4-Пирролидин-1-ил-11Н-тиено[3',4':5,6]пирамидо[1,2-*b*]изохинолин-11-он

(4A) получают по методике [7] из соединения 3A и пирролидина. Т. пл. 220–222 °C (EtOH). Выход 90%. ИК спектр, ν, см⁻¹: 1641 (C=O), 1565 (C=N), 1530, 1335, 880, 800. Масс-спектр, *m/z*: 324 [M⁺+1]. Найдено, %: C 67.24; H 4.68; N 13.01; S 10.00. C₁₈H₁₅N₃OS. Вычислено, %: C 67.27; H 4.70; N 13.07; S 9.98.

4-Пиперидин-1-ил-11Н-тиено[3',4':5,6]пирамидо[1,2-*b*]изохинолин-11-он

(5A) получают по методике [7] из соединения 3A и пиперидина. Т. пл. 160–162 °C (EtOH). Выход 95%. ИК спектр, ν, см⁻¹: 2932, 2851 (C–H), 1646 (C=O), 1613 (C=C), 1565 (C=N), 1535, 1280, 880, 794. Масс-спектр, *m/z*: 338 [M⁺+1]. Найдено, %: C 68.02; H 5.08; N 12.52; S 10.00. C₁₉H₁₇N₃OS. Вычислено, %: C 68.04; H 5.11; N 12.53; S 9.56.

4-Морфолин-4-ил-11Н-тиено[3',4':5,6]пирамидо[1,2-*b*]изохинолин-11-он

(6A) получают по методике [7] из соединения 3A и морфолина. Т. пл. 180–182 °C (EtOH). Выход 95%. ИК спектр, ν, см⁻¹: 2851 (C–H), 1664 (C=O), 1618 (C=C), 1565 (C=N), 1540, 1482, 1450, 1267, 1113 (C–O), 1001, 880, 800, 749, 690. Масс-спектр, *m/z*: 338 [M⁺+1]. Найдено, %: C 64.00; H 4.45; N 12.41; S 9.54. C₁₈H₁₅N₃O₂S. Вычислено, %: C 64.08; H 4.48; N 12.45; S 9.50.

4-Метокси-11Н-тиено[3',4':5,6]пирамидо[1,2-*b*]изохинолин-11-он (7A)

получают по методике [7] из соединения 3A и метилата натрия. Т. пл. 190–192 °C (ДМФА). Выход 90%. ИК спектр, ν, см⁻¹: 1656 (C=O), 1593 (C=C), 1555 (C=N), 1487, 1328, 1306, 1105 (C–O), 812. Масс-спектр, *m/z*: 383 [M⁺+1]. Найдено, %: C 63.80; H 3.60; N 9.98; S 11.30. C₁₅H₁₀N₂O₂S. Вычислено, %: C 63.82; H 3.57; N 9.92; S 11.36.

4-Тиоксо-4,5-дигидро-11Н-тиено[3',4':5,6]пирамидо[1,2-*b*]изохинолин-11-он (8A)

получают по методике [7] из соединения 3A и тиомочевины. Т. пл. 320–322 °C (EtOH). Выход 95%. ИК спектр, ν, см⁻¹: 1684 (C=O), 1625 (C=C), 1555, 1484, 1370, 1234 (C=S), 802, 736, 688. Найдено, %: C 59.10; H 2.80; N 9.82; S 22.50. C₁₄H₈N₂OS₂. Вычислено, %: C 59.13; H 2.84; N 9.85; S 22.55.

4-Метилито-11Н-тиено[3',4':5,6]пирамидо[1,2-*b*]изохинолин-11-он (9A)

получают по методике [7] из соединения 8A и метилиодида. Т. пл. 180–182 °C (ДМФА). Выход 95%. ИК спектр, ν, см⁻¹: 1651 (C=O), 1618 (C=C), 1537 (C=N), 1517, 1479, 1229, 935, 782, 738, 682 (C–S). Масс-спектр, *m/z*: 299 [M⁺+1]. Найдено, %: C 60.40; H 3.36; N 9.42; S 21.45. C₁₅H₁₀N₂OS₂. Вычислено, %: C 60.38; H 3.38; N 9.39; S 21.49.

Авторы благодарят фирму "Енамин" (г. Киев) за поддержку проекта.

С П И С О К Л И Т Е Р А Т У РЫ

1. А. В. Задорожний, В. А. Ковтуненко, *XГС*, 619 (2009). [*Chem. Heterocycl. Comp.*, **45**, 489 (2009)].
2. А. В. Задорожний, А. В. Туров, В. А. Ковтуненко, *XГС*, 1227 (2010).
3. Т. Т. Кучеренко, А. В. Задорожний, В. А. Ковтуненко, *XГС*, 932 (2008). [*Chem. Heterocycl. Comp.*, **44**, 750 (2008)].
4. В. А. Ковтуненко, Т. Т. Кучеренко, О. В. Шишкун, В. М. Кисель, *XГС*, 1408 (2002). [*Chem. Heterocycl. Comp.*, **38**, 1242 (2002)].
5. А. В. Задорожний, В. А. Ковтуненко, А. В. Туров, Т. Т. Кучеренко, *XГС*, 1053 (2008). [*Chem. Heterocycl. Comp.*, **44**, 845 (2008)].
6. HyperChem Professional 5.1; Hypercube © Inc., 2002 [была любезно предоставлена проф. О. Д. Качковским (ИОХ НАН Украины, г. Киев)].
7. А. В. Задорожний, В. А. Ковтуненко, А. А. Винийчук, А. Д. Качковский,

- Журн. орг. фарм. хим.*, **7**, вып. 3(24), 64 (2009).
- 8. D. A. Filimonov, V. V. Poroikov, Yu. V. Borodina, T. Gloriozova, *J. Chem. Inf. Comput. Sci.*, **39**, 666 (1999).
 - 9. V. V. Poroikov, D. A. Filimonov, Yu. V. Borodina, A. A. Lagunin, A. Kos, *J. Chem. Inf. Comput. Sci.*, **40**, 1349 (2000).
 - 10. V. V. Poroikov, D. A. Filimonov, *J. Comput. Aided Mol. Des.*, **16**, 819 (2002).
 - 11. P. Seeman, S. List, in: *Abstracts of the 8th Symposium International Congr. Pharmacol.*, Okayama, July, 1981, Oxford, 1982, p. 61.

Киевский национальный университет
им. Тараса Шевченко, Киев 01033, Украина
e-mail: vkovtunenko@univ.kiev.ua
e-mail: shura_zd@ukr.net

Поступило 03.04.2009
После доработки 13.05.2010
